小型ACVの操縦性に関する研究 (その1)

山下 進, 三野正洋*, 山本健作**, 力丸卓哉**

A Research of Handling Property for Light ACV (PART 1)

Susumu YAMASHITA, Masahiro MINO Kensaku YAMAMOTO, Takuya RIKIMARU

1. 序論

ACVは、空気圧力によって浮上しながら走行するため、接地面との摩擦抵抗が少なく、また旋回時、サイドフォースを発生させることができない。そのため前進方向にも横方向にも滑り易いという、特殊な運動特性をもっている。このことから、その操縦は操縦者の技量や慣熟度に大きく依存する。

ACVには、大型のものでは300トンを越えるものもあり、ロシアやカナダなどで旅客用、貨物用フェリーあるいは軍事用として利用されている。日本においては、三井造船によって旅客用として開発されたMV-PP10「ドリーム1号」などがある。このMV-PP10の水上での操縦性能に関して、実船試験結果およびシミュレーション計算結果が既に報告されている"。また最近では、三井造船と三菱重工業が共同開発している高性能貨物船テクノスーパーライナー(TSL)「飛翔」などがある"。

本研究で採りあげるACVは、重量1.0トン以内、全長6.0m以内の運輸省基準による小型と呼ばれているもので、主にレジャー用(写真1³)や救助用として利用されている。

これまでのACVについての研究^{()つ}は、スカートの特性などの技術的分析、性能向上を目的とするものが大部分であった。しかし、ACVは先にも述べたように、特殊な運動特性をもっているため、特に小型ACVに関する運動解析の研究は、ほとんど行われていない。



写真1 レジャー用小型ACV³⁾



写真 2 実験用小型ACV

^{*} 日本大学生産工学部専任講師 ** 平成8年度機械工学科卒業生

大型ACVについては、いくつかのメーカーにより行われているが、具体的なデータは公表されていないことが多い。

そこで本研究では、小型ACVの運動特性に注目し、このような乗り物に対して、人間がどのように操縦し、また操縦技術を高めていくのかを定量的に把握するために、走行実験を行った^{8),10)}。その結果がある面においては、技術面へフィードバックされると考える。

ここでは、まず実験用として製作した小型ACVの基本性能試験の結果を示す。次に学生の中から数名の操縦者を選び、ある決められたコースを数回走行してもらった。そして走行回数とゴールするまでの時間との関係を示し、操縦技術の向上の度合を定量的に把握することを試みたので、その結果を報告する。

2. 実験装置(実験用小型ACVの仕様)

本研究で、実験用として製作した小型ACVは、既 製のものの設計プランを参考としている。写真2に今 回製作した小型ACVを、表1にその主要緒元を示す。 このACVは、表1にも示したように、1基のエンジン で浮上、推進を兼ねるⅢ-C型®と呼ばれるもので、ファ ンの作り出すエアの約30%をベンディング・ダクトで スカートの中に取り入れるタイプである。Ⅲ-C型ACV の構造の概略を図1に示す。この型式を選択した理由 は、比較的容易に製作でき、操縦が簡単であることで ある。またスカートは、バッグ型スカートとした。そ の理由として、製作が容易であり、走行中、重心の位 置が多少変化しても、船体を水平に保つことができる といった長所をもっているからであるり。ファンの周 りには、推力の効率向上、危険防止、騒音の防止など の理由から、ベルマウス付きのダクトが取り付けられ ている。さらに将来V-A型(浮上と推進を別々のエ ンジンで行うタイプ) のへの改造が容易にできるよう な工夫もされている。V-A型ACVの構造の概略を図2 に示す。

3. 実験方法

3-1 基本性能試験

まず、製作した小型ACVの基本性能を調べた。写真3はその様子である。船体を動かないように固定した上で、エシジンを始動する。そして人が乗っていない場合と乗っている場合について、エンジンとファンの各回転数(1500,2000,2500rpm)におけるスカート内部と圧力室の圧力、図3(a)に示す船体の4ヶ所における浮上高を測定した。さらにファンの性能を調べるた

表1 実験用小型ACVの主要緒元

全 長	3010 mm					
全 幅	1600 mm					
全 高	880 mm					
自重量	90 kg					
材質	木材					
搭乘者数	1 名					
送風型式	III-C 型					
スカート型式	6ピースバッグタイプ					
エンジン	空冷 4 サイクル立型単気筒 OHV 式					
ファン	直径 680 mm-35° -10 翼(MWF*)					
ダクト	直径 700 mm(FRP)					
方向舵	1枚(アルミニウム)					
動力伝達方式	エンジンとファンを直結					

*MWF(Multi Wing Fan)

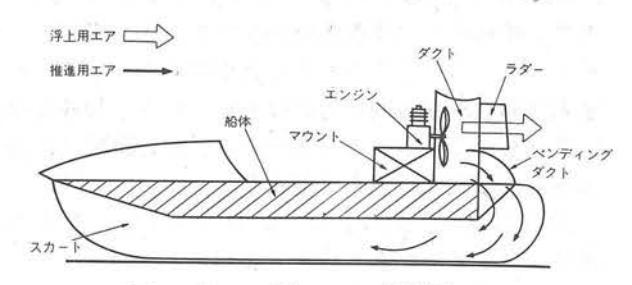


図1 Ⅲ-C型ACVの構造⁹⁾

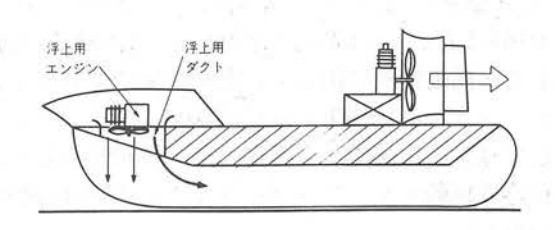


図2 V-A型ACVの構造⁹⁾



写真3 基本性能試験

め、先に述べた各回転数におけるダクト出口での風速 を測定した。図3(b)に風速の測定位置を示す。

3-2 走行実験

操縦に対する人間の技術的上達あるいは慣熟度を定量化するための走行実験を試みた。写真4は走行実験の様子である。今回の走行コースは、ACVの直進性と旋回性をみるために、図4に示すようなL字の右回り、左回りとした。操縦者は小山高専の2年生から5年生までの男子とした。右回り、左回りで、操縦者は別とし、1人20回ずつ走行してもらい、ゴールするまでの時間を計測した。

4. 実験結果と考察

4-1 基本性能試験

図5は人が乗っていない場合および乗っている場合の、各回転数における浮上高の変化を示している。人が乗っていない場合、船体の荷重バランスが崩れ、船体後部が重くなるため、低回転時ではスカート後部の膨らみ具合が悪く、つぶれた状態となるが、スカート前部は順調に膨らんでいくので、船体は後ろのめりになりながら前方から浮上していく形となる。そのため1500rpmでは点1,2の浮上高が高く、点3,4の浮上高が低くなっている。そして回転数が上がるにしたがって、ファンからの送風量も増えるので、スカートの膨らみも均一となり、浮上高も一定になっていくことがわかる。

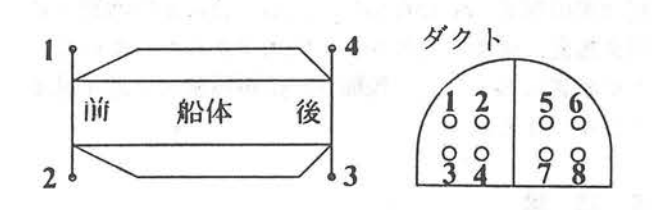
人が乗っている場合は、設計の段階で重心計算して 求めた位置に重心がくるので、どの回転数においても 浮上高はほぼ一定である。

図6は、ダクト出口における風速分布を表している。 測定位置によって、風速はかなり異なった値を示して いるが、これはファンの回転方向やベンディング・ダ クトの導入板(推進と浮上の空気を分けるために設置 した板)の影響によるものと考えられる。

4-2 走行実験

図7は走行回数と時間との関係を表したものである。 右回り、左回りともに走行回数が増えるにしたがい、 多少のばらつきはあるものの、傾向としてはほぼ直線 的に時間が短縮されていくことがわかる。また右回り と左回りとでは、回帰直線の傾きが違うが、最終回で の時間がほぼ同値となっているため、走行実験時の路 面状態の影響によるものと推測する。

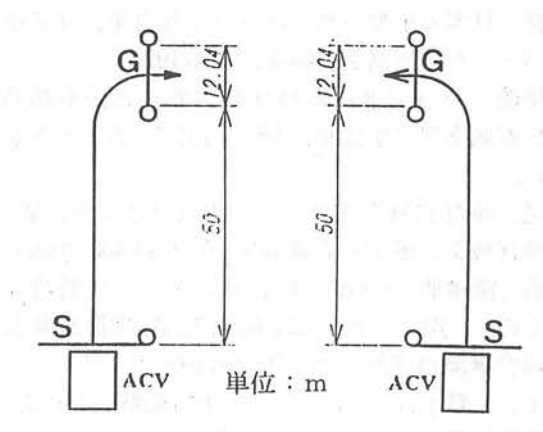
図8は走行回数と決められたコースを逸脱しない



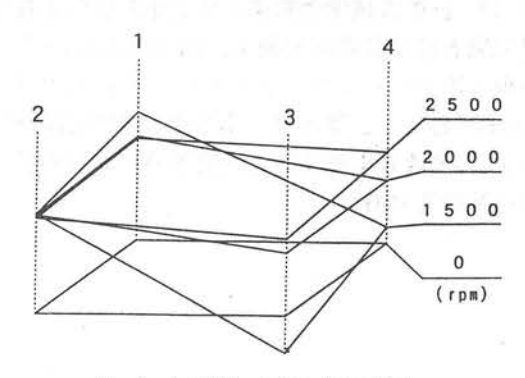
(a) 浮上高 図3 浮上高と風速の測定位置



写真 4 走行実験の様子



(a) L字右回り (b) L字左回り 図4 走行実験の走行コース



(a)人が乗っていない場合 図5 回転数による浮上高の変化

成功率の関係を示したものである。特に走行回数が10回を越えた後半あたりから、成功率が上がっている。 この結果においても、操縦者の操縦技術の上達を見る ことができる。

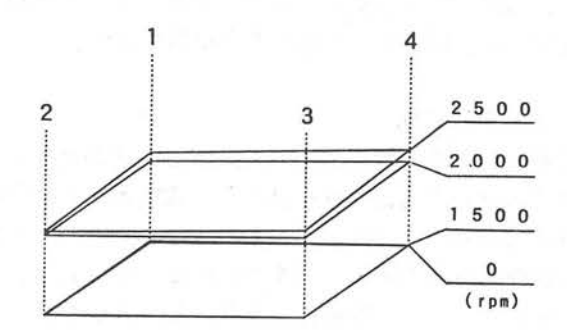
5. 結論

実験用小型ACVを用いて走行実験を行い、走行回数と時間の関係を調べてきた。その結果、L字コースにおいては、走行回数の増加とともに、ゴールに達するまでの時間は、ほぼ直線的に短縮される傾向があることが明らかにされた。

なお、この論文は平成8年度卒業研究¹⁰に、一部加筆したものである。

【参考文献】

- 1)吉野,山下: MV-PP10の操縦性能について,第31 回飛行機シンポジウム講演集,PP502-505(1993).
- 2)坂井: TSL-A実海域模型船の構造について, 第33 回飛行機シンポジウム講演集, PP427-430(1995).
- 3)三野:日本の小型ホバークラフト写真集,日本小型 ホバークラフト協会他編集,P34(1980).
- 4)松尾他: ACVにおけるバッグスカートの形状推定 法, 日本航空宇宙学会誌, VOL.42,NO.485,PP45-52 (1994).
- 5)村尾,坪内: ACV用スカートの設計と実験,第33 回飛行機シンポジウム講演集,PP459-462(1995).
- 6)須藤, 深津他: LSACPにおけるスカート特性の研究 (その6), 関東学生会第35回学生員卒業研究発表 講演会講演前刷集, PP241-242(1996).
- 7)山下, 三野: LSACPのスカート振動解析その2, 第34回飛行機シンポジウム講演集, PP33-36(1996).
- 8)山本,力丸他:小型ACVの操縦性に関する研究 (その1),日本機械学会関東学生会第36回学生員卒業 研究発表講演会講演前刷集,PP223-224(1997).
- 9)三野:ホバークラフトトータル・ガイド,パワー社. 10)山本,力丸:小型ACVの操縦性に関する研究(その1),平成8年度小山工業高等専門学校機械工学 科卒業研究(1997).



(b)人が乗っている場合 図5 回転数による浮上高の変化

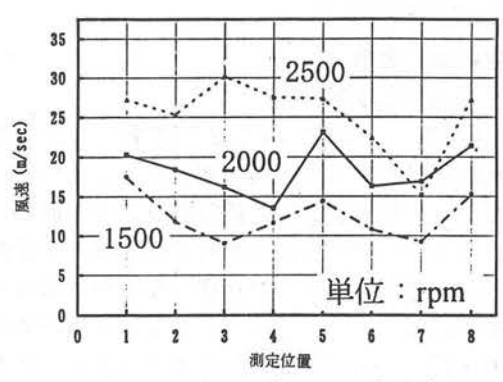


図6 ダクト出口の風速分布

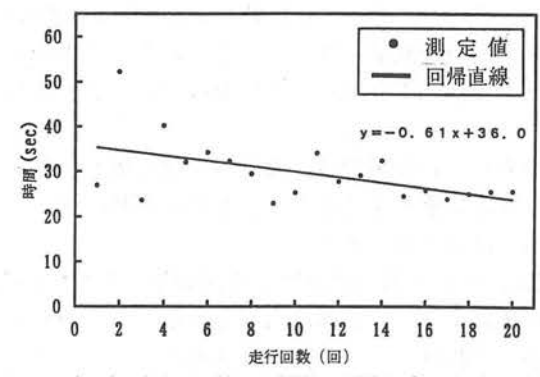


図7(a) 走行回数と時間の関係(L字右回り)

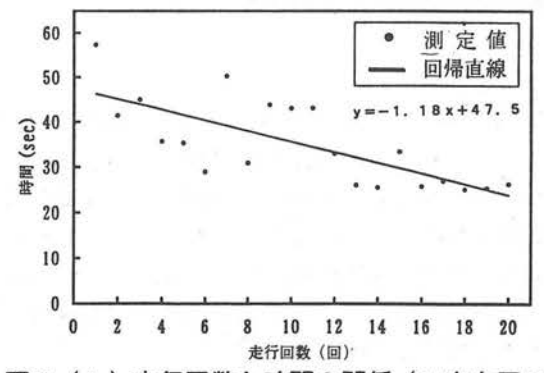


図7(b) 走行回数と時間の関係(L字左回り)

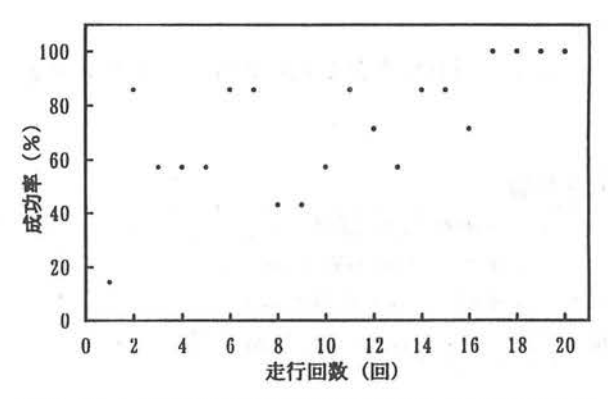


図8 (a) 走行回数と成功率の関係(L字右回り) 【付 録 1】

表2と表3は、浮上高などの測定データである。 表2 人が乗っていない場合の測定結果

		糖	25 17	上	4	Œ	カ	mare.	推力	
		1	2	3		25-13	压力2	回転数	极音	
第1投幣 (0)	164	168	170	168	0	0	0	0	
	1回日	402	372	165	205	- 1	24	1420	0	
	2日日	404	370	155	198			1430		
第2段階	388	404	3 6 8	158	203			1435		
	488	404	3 6 8	1 4 9	203	2 4		1420		
(1500)	5 回目	404	367	1 4 8	195			1445	9.1	
	平均	403.6	369.0	155.0	200.8			1429		
	1 🗐 🗊	3 7 7	3 7 0	298	3 2 0	27	2 6	2000	4. 0	
	2回日	3 7 7	3 6 8	295	3 2 0			2030		
來 3 段階	3個目	3 7 7	365	295	320			2020		
	4回目	3 7 7	366	300	3 2 3			2000		
(2000)	888	3 7 7	365	299	3 2 3			2005		
	平均	177.0	366.8	267.4	121. 2			2011		
	1回目	3 7 0	3 6 1	3 3 0	350		1 29	2535	4, 8	
第4段階	2回目	3 7 2	3 6 2	3 2 5	3 5 3			2550		
	3回目	3 7 3	3 6 0	3 2 5	3 5 3	31		2550	103	
	4回目	373	3 6 0	3 2 5	357			2545		
(2500)	5 🛛 🗒	3 7 4	3 6 1	3 2 4	3 5 6			2545		
	平均	372. 4	260.8	325. 8	353, 8			2544		

表3 人が乗っている場合の測定結果

		赖	M M	Ł	A 4	Æ	n	回転数	推力
		1	2	3		13-13	压力2		糖膏
第1段階(0)	167	167	164	168	0	.0	0	0
	180	170	169	164	168			1435	9.0
	2回目	170	169	164	168			1445	
第2段階	3 🖾 🖽	170	169	164	1 6 8	2.9		1430	
00000	4 20 10	170	169	164	168		2.8	1420	
(1500)	5 9 8	170	169	164	1 6 8			1435	
	平均	170.0	169.0	164.0	168.0			1433	
	100	3 2 7	3 2 6	3 2 8	3 3 3			2000	9.6
10-2010	2回日	330	3 2 8	3 2 7	3 3 2		44	1995	
第3股階	3個目	3 2 7	330	3 2 5	333			2000	
800000	485	3 2 7	330	3 2 5	3 3 2	40		2000	
(2000)	5回目	3 2 9	330	3 2 6	3 3 4			1990	
	平 均	328.0	228.8	326.2	112.8			1997	
	188	3 4 4	3 3 7	3 4 0	3 5 7			2410	4.0
	2回目	3 4 5	337	3 4 0	3 5 7			2435	
第4段階 (2500)	3回日	344	3 3 6	3 4 1	3 5 7	4.7	١.,	2430	
	4回11	3 4 5	3 3 7	3 3 9	3 5 8		1.	2410	
	5回日	3 4 4	3 3 6	3 3 9	3 5 4			2430	
	平均	344.4	316.6	139.8	356.0			2431	

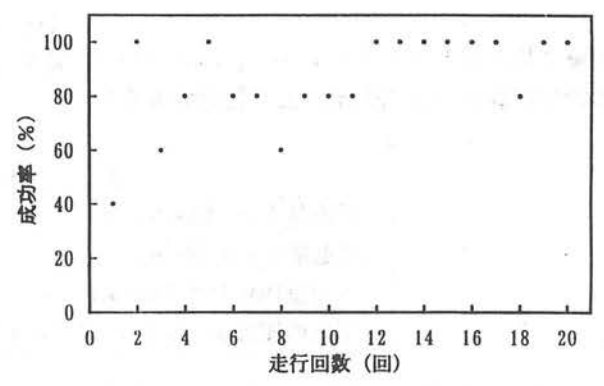


図8(b)走行回数と成功率の関係(L字左回り) 表4と表5は、相対浮上高とその標準偏差を計算し たものである。

表 4 人が乗っていない場合の計算結果

		相	25	岸 上	高	平均に対する
		1	2	3	4	標準備差
	1回目	238	204	-5	31	
	2回目	240	202	-15	30	
1500	3 回日	240	200	-12	35	1
	4回目	240	200	-21	35	58.98
	5回目	240	199	-22	27	4
	平均	261.6	201	-75	32.8	1
	1 翌日	211	202	128	152	
	2回目	213	200	125	152	
2000	3回目	213	197	125	152	
	4 200	213	198	130	155	15.20
	5回目	211	197	129	155	A STATE OF THE
	부 55	213	198.8	127.4	153. Z	
	188	204	192	160	182	
	2 回目	208	194	155	185	
2500	3回目	209	192	155	185	100
	4回目	203	192	155	189	8.44
	5 回目	210	193	154	188	
	早. 均	208, 4	192.8	155.8	185.8	

表 5 人が乗っている場合の計算結果

	- 1	10	21	浮 上	A	平均に対する
		-1	2	3	4	標準備差
	1 回日	3.0	2.0	0	0	
1500	2回目	3.0	2.0	. 0	0	
	3.包目	2.0	2.0	- 0	0	
	4個目	3.0	2.0	. 0	0	0. 574
	5個日	2.0	2.0	0	0	1776517.455
	平均	3.0	2.0	0	. 0	
	1回日	160	159	164	165	
	2回日	163	161	163	164	
2000	3 図目	160	163	161	165	
	4 回日	160	163	161	164	0.629
	5個目	142	162	162	166	
	平均	161	161.8	142.2	154. 8	
	1回目	117	170	176	189	
	2回目	178	170	175	189	
2500	3 照日	177	169-	177	189	i heratero
	4.回日	178	170	175	190	3.028
	5回日	177	149	175	186	2
	學的	177.4	192.8	175. B	188.6	

【付 録 2】

表 6 は小型ACV走行実験データシートである。

表6 データシート

× B	年月日	* 4	11	実装			% NL	c.
49	411-15			* 8		ıı	0 E	11
		R # 0 # #		4.0			***	
R	10.11	6 - M &			11		-	
76	$n\cdot m = m$	N + M	4		11			
	29.86	W · M		т и	.0			
20	パターン	4.0		0.7		5 9	8.0	*
н	B 4	1125 A (se	r)	HR		A B	914	(sec)
ì				- 11		- 6		
3				-11				
- 3				- 13			100	
-4				- (1				
. 5				- 11				
. 9				28				
7				- 11				
8				11				
9								
- 1				26				
is								
•								
18								

【付録3】

実験で得られたデータをもとに、いくつかの諸量を計算した。表7に計算に必要な実験用小型ACVの実測値、基本性能試験からの測定値および物理定数を示す。

表7 計算に必要な数値

総重量Tw=160.0(kg) クッション面積Ac=3.91(m²) 自重量Hw= 90.0(kg) エンジン出力 Pe=900(kgm/s) 圧力室内圧Pi=44.0(kg/m²) ダクト断面積 Ad=0.385(m²) 空気の密度 ρ = 0.125(kgs²/m⁴) 最大風速 Vmax=25.3(m/s)

1. クッション圧力(Pc)

1-1 総重量に対するクッション圧力(Pct) Pct=Tw/Ac=160.0/3.91=40.9(kg/m²)

1-2 自重量に対するクッション圧力(Pch) Pch=Hw/Ac=90.0/3.91=23.0(kg/m²)

2. 動圧(Pd)

 $Pd = \rho V^2 max / 2 = 0.125 \times 25.3^2 / 2 = 40.0 (kg/m^2)$

- 3. ベンディングダクトを考慮しない場合
- 3-1 送風量(Q1)

 $Q1 = Ad Vmax = 0.385 \times 25.3 = 9.74 (m^3/s)$

3-2 推力(T1)=送風される空気の質量(m1) T1= ρ Q1 Vmax =0.125×9.74×25.3=30.8(kg)

3-3 運動エネルギー(K1)

 $K1=m1 V^2 max/2=30.8\times25.3^2/2=9857.4(kgm^2/s^2)$

3-4 ファンのした仕事(W1)

W1= ρ Ad V³max / 2=0.125×0.385×25.3³/2 =389.7(kgm/s)

3-5 ファンの全効率(f1)

 $f1=W1/Pe \times 100=389.7/900\times100=43.3(\%)$

4. ベンディングダクトを考慮した場合 (ダクト断面積が3分の2)

4-1 送風量(Q2)

 $Q2=2 Q1 / 3=2 \times 9.74 / 3=6.49 (m^3/s)$

4-2 推力(T2)=送風される空気の質量(m2)

 $T2=2 T1 / 3=2 \times 30.8 / 3=20.5 (kg)$

4-3 運動エネルギー(K2)

 $K2=2 K1 /3=2 \times 9857.4/3=6571.6(kgm²/s²)$

4-4 ファンのした仕事(W2) W2=2 W1 / 3=2×389.7/3=259.8(kgm/s)

4-5 ファンの効率(f2) f2=2f1 / 3=2×43.3/3=28.9(%)

5. 測定したクッション圧力からファンのした仕事を 求める (ベンディングダクトを考慮しない場合) 5-1 ベルヌーイの定理より風速Vを求める

 $V = (2 \text{ Pi } / \rho)^{1/2} = (2 \times 44.0 / 0.125)^{1/2} = 26.5 (\text{m/s})$

5-2 送風量(Q)

 $Q = Ad V = 0.385 \times 26.5 = 10.2 (m^3/s)$

5-3 運動エネルギー(K)

 $K = \rho Q V^3/2 = 0.125 \times 10.2 \times 26.5^3/2$ = 11863.6(kgm²/s²)

5-4 ファンのした仕事(W)

W = ρ Ad V³/2=0.125×0.385×26.5³/2 =447.8(kgm/s)

5-5 ファンの全効率(f)

 $f = W/Pe \times 100 = 447.8/900 \times 100 = 49.8(\%)$

○ベンディングダクトを考慮した場合のファンの効率 (fb)

 $fb=2f/3=2\times49.8/3=33.2(\%)$

この33.2(%)という効率は、ファンの効率がダクト内で均一な場合である。実際には浮上用のエアが発生する場所(ベンディングダクトのある場所:ファンの外周)はファンの効率がよく、上側3分の2の部分にはハブなどの影響により効率の悪い場所がある。このような理由から前に示した28.9(%)との間に差が生じているものと思われる。

(受理年月日 1997年 9 月26日)